论著

多排CT对小儿支气管内异物的诊断价值*

广州市妇女儿童医疗中心 (广东 广州 510180)

冯锦兰

【摘要】目的 对比分析多排CT在诊断小 儿支气管炎内异物的诊断价值。方法 对 我院进行治疗的经纤支镜确诊为支气管异 物的患儿76例,分别对其进行X线检查及 16排螺旋CT检查,对比观察两种检查方 式的诊断准确性。结果 76例患儿左支气 管、主支气管及右主支气管异物应用16排 螺旋CT诊断符合率为100%, 其中直接提示 气管异物占88.1%,间接征象占11.9%; X 线临床诊断符合率为85.5%, 其中直接征 象占18.4%, 间接征象占81.6%。螺旋CT对 左支气管、中段支气管、右主支气管异物 及总的诊断符合率均明显高于X线诊断符 合率,差异有统计学意义(P<0.05)。结 论 多排CT对小儿支气管内异物具有较高 的临床应用价值。

【关键词】螺旋CT; 支气管异物; 小儿; 三维重建

【中图分类号】R562; R445.3

【文献标识码】A

【基金项目】1. 广东省自然科学基金s201 2040007285经磁共振介导离 体胎儿髋关节发育规律研究 2. 广东省卫生厅A2012512磁 共振弥散加权功能成像扫描 技术在妊娠胎盘植入诊断中 的应用

DOI: 10.3969/j.issn.1672-5131.2015.06.008

通讯作者: 冯锦兰

Value of Multi Slice CT in Diagnosis of Bronchial Foreign Bodies in Children*

FENG Jin-lan. Guangzhou Women and Children Health Care Center

[Abstract] Objective Comparative analysis of the diagnosis value of multi slice CT in the diagnosis of foreign bodies in children with bronchiolitis. *Methods* 76 children who were confirmed by fiberbronchoscope in our hospital were chosen, X-ray examination and 16 slice spiral CT examination were performed respectively, diagnosis accuracy of two methods were compared. *Results* The accordance rate of 16 slice spiral CT in the diagnosis of middle left bronchus, bronchus and right main bronchus were 100%, The direct indication of tracheal foreign body accounted for 88.1%, The indirect signs accounted for 11.9%; Clinical X-ray diagnosis coincidence rate was 85.5%, The direct signs accounted for 18.4%, The indirect signs accounted for 81.6%.the diagnosis rates of spiral CT were obviously higher than the X-ray, The difference had statistically significant(P<0.05). *Conclusion* Multi slice CT has high value in the diagnosis of bronchial foreign bodies in children.

[Key word] Bronchial Foreign Bodies; Children; Spiral CT; 3D Reconstruction

支气管异物是小儿常见的呼吸系统危重急症之一,好发于三岁以下的小儿^[1]。此年龄段的幼儿由于不能提供明确、有效的病史及症状主诉,极易造成病患的误诊、漏诊,故临床上往往需要借助影响学诊断来对疾病进行辅助诊断^[2]。以往临床上影像学检查以X线透视为主,但是由于X线并不能直接显示小儿支气管的异物,临床医师需要通过间接征象进行推测确诊,因此诊断结果极易收到阅片者主观影响造成漏诊、误诊^[3]。随着多排CT及三维后处理技术在临床上的广泛应用,其对小儿支气管异物的诊断的准确与快捷正逐渐被临床医师所接受。本研究通过对比分析X线与螺旋CT对小儿支气管异物诊断的准确性,探讨螺旋CT对其诊断价值,现报告如下。

1 资料与方法

1.1 一般资料 选取2012年3月至2014年3月因临床表现为呛咳、气促、呼吸困难、发热在我院进行诊治并经确诊为支气管异物的患儿76例,男56例,女20例,年龄5个月~9岁,平均年龄(3.2±1.6)岁。其中1岁以内患儿6例,1~3岁57例,3岁以上13例。异物吸入史31例,无或者不能明确是否曾经有过异物吸入经历患儿45例。所有患者均经纤支镜确诊为支气管内异物征,所取异物共71块,具体为:花生米屑44块,西瓜子壳4块,葵花籽壳12块,笔套笔帽3块,饭菜残渣6例,另外有2例患者例支气管异物为气管内黏稠脓性分泌物。

本研究经院伦理委员会批准,向患儿家属介绍研究目的、方法及 意义,并均签署知情同意书。

1.2 检查方法 检查前对不能配合患儿采用水合氯醛0.5m1或者肌注地西泮0.3mg/kg进行制动。

X线检查:采用东芝公司生产DR机器。患儿取仰卧体位,由家属协助摆正体位。嘱患儿深吸气、深呼气,分别取吸气、呼气相X线片。

螺旋CT检查:采用东芝公司Aquilion64排螺旋CT机进行常规连续扫描。患儿取仰卧位,均自下颌螺旋扫描至膈面,对原始数据采用层厚0.5mm,层距0.5mm标准算法重建后将数据传送至工作站进行图像三维后处理。通过多平面重组(MPR)、曲面重组(CR)、容积重组(VR)和CT仿真内镜(CTVE)等以观察气道和肺部情况判断有无异物及异物存在的部位、大小、形态、数量以及支气管狭窄程度,同时对肺不张、肺气肿、纵隔移位情况进行分析[4]

1.3 统计学分析 采用 SPSS17.0统计学软件,计数资料 采用百分比表示,统计学方法采用X²检验,以P<0.05具有统计学 意义。

2 结 果

2.1 两种影像学检查方式临床诊断符合率对比 76例患儿左支气管、主支气管及右主支气管异物应用16排螺旋CT诊断符合率为100%,其中直接提示气管异物占88.1%,间接征象占11.9%; X线临床诊断符合率为85.5%, 其中

例)、肺气肿(1例)、肺炎(4例)、 气胸(2例)、胸腔积液(1例)等。 **3 讨 论**小儿由于喉返神经功能和咀嚼功能不完善,很容易导致异物进入气管中,导致患儿出现窒息

[5]。临床上发现,进入气管的异

叶透亮度增高,透视下纵隔摆动

多见,表现为呼气相纵隔移向健侧,吸气相回复中位。直接看到

支气管致密异物影的少见。主气

管异物表现为气道致密影像影,

其边缘较为清晰,并随着患儿呼

吸上下移动,透视下间接征象心

影反常大小多见,但主气道异物

受分辨率及诊断医师对间接征象

支气管腔内见高密度影, 并且呈

现柱状、管状、分环形状、半圆

形、类三角形、不规则形, 其中

以柱状最多见。异物处管腔狭

窄,阻塞,异物以下管腔轻度扩

张。②间接征象:包括肺不张(1

螺旋CT征象: ①直接征象:

的经验性判断影响较大。

嚼切能不完善,很容易导致异物 进入气管中,导致患儿出现窒息 ^[5]。临床上发现,进入气管的异 物往往是植物性食物,其大小、 形态与停留的位置相关,在支气 管中往往是较小的颗粒状,在进 入支气管后患儿临床表现与支气

异物分布	例数	X线检查符合率(%)	螺旋CT检查符合率 (%)
左支气管	31	83.9 (26/31)	100*
主支气管	17	88.2 (15/17)	100*
右支气管	28	85.7 (24/28)	100*
总计	76	85.5 (65/76)	100*

与X线检查相比,*P<0.05

直接征象占18.4%,间接征象占81.6%。螺旋CT左支气管、主支气管、主支气管、右主支气管及总的诊断符合率均明显高于X线诊断符合率,差异有统计学意义(P<0.05)。

2.2 两种检查方式征象表现 胸部X线检查支气管异物多表现 为间接征象,多表现为异物侧阻 塞性肺气肿,患侧支气管对应肺 管肺炎相似,往往给临床大夫造成主观误诊,故对疑似支气管异物患儿的诊断,往往要借助于影响学检查^[6]。目前,临床上对于气管异物最直接的诊断方法为纤维支气管镜检查,但是由于此检查手段对操作者水平要求高,风险大,容易由于操作不当或者患儿出现不配合导致喉头水肿、气

胸等并发症,故临床上不作为首选检查方式^[7]。普通的X线由于分辨率较低,对非金属异物不能直接显示,而临床工作中,大部分患儿支气管异物的原因为瓜子屑、花生屑等,密度低,无法直接显示,需要通过纵隔摆动,无法直接显示,需要通过纵隔摆动,心影反常大小等间接征象来判定,不仅会在患儿身体出现移动时容易导致错诊、漏诊,而且无法判定支气管异物的大小、位置及形态^[8]。

螺旋CT及其三维重建技术在 提高小儿支气管异物检出率有着 重要的临床价值, 其扫描速度 快, 层厚薄, 空间分辨率高, 并 且有强大的后期图像处理功能能 够完全弥补X线诊断上的不足,对 小儿支气管异物进行准确、有效 的检测[9]。其中三位重建技术能 够将支气管在三维任意方位进行 有效的观察,可以将异物以更加 清晰、直观、立体的方式在一个 纵切面上显示出来,能够应用旋 转切线调节角度来显示异物的具 体特点以及支气管的狭窄程度; CR能够把不在一个平面上的气 管、支气管重建在一个平面上, 以更好的观察异物与支气管的关 系,为进行临床内窥镜手术提供 可靠的理论支持[10]。本研究发 现,应用螺旋CT在支气管异物的 诊断率上明显高于X线,并且能 够清楚显示异物大小、位置,说 命螺旋CT在异物的准确定位以及 气道狭窄程度判断及伴随征象的 显示上,对临床有重要的指导价 值。螺旋CT结合临床判定,有利 于对患儿病情的准确判断。

综上所述,多排CT是小儿支 气管异物可靠的检查方式,其结 合三维重建成像能够清楚的显示 异物的部位、大小以及形态,并 且能够有效显示出异物与周围组 织关系以及病变的严重程度,为 进行下一步手术提供了有效的依据。

参考文献

- 1. Brown JC , Baik FM , Ou HC, et al. Upper aerodigestive magnetic foreign bodies in children[J]. Laryngoscope, 2014, 124 (6):1481-1485.
- 吴主强,丁山,章振华.儿童气道异物的64排螺旋CT诊断[J].南昌大学学报(医学版),2013,53(4):64-66.
- 3. 王忠, 衣然, 洪晓纯等. 64层螺旋CT 扫描多种三维后重建技术在小儿气 管、支气管异物诊断中的比较[J]. 中国CT和MRI杂志, 2012, 10(4): 24-

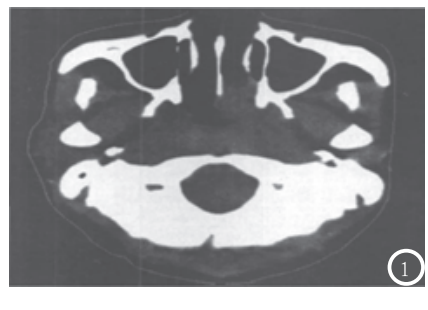
- 4. 刘井池,李月梅,徐新国等. 电视监视下气管内镜取气管支气管异物76例[J]. 蚌埠医学院学报,2010,35(1):1135-1136.
- 5. Jaswal A, Jana U, Maiti PK. Tracheo-bronchial foreign bodies: a retrospective study and review of literature[J]. Indian J Otolaryngol Head Neck Surg, 2014, 66 (Suppl 1):156-160.
- 6. Jung SY, Pae SY, Chung SM, et al. Three-dimensional CT with virtual bronchoscopy: a useful modality for bronchial foreign bodies in pediatric patients [J]. Eur Arch Otorhino-laryngol, 2012, 269 (1): 223-228.
- 7. 李桂萍, 安永胜. 多层螺旋CT诊断小 儿支气管异物的临床应用[J]. 实

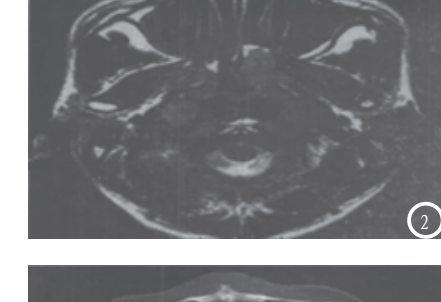
- 用放射学杂志, 2012, 28(7): 1099-1100.
- 8. 郑海军,周海军,汤嘉泉等.16层 CT在小儿气管支气管异物诊断 中的应用[J].中国CT和MRI杂 志,2007,5(1):29-31.
- 9. 孙泓泓,张冀新,何莹等. 多层螺旋CT 及图像后处理技术在小儿气管支气 管异物中的应用[J]. 现代医用影像 学,2013,22(6):460-462.
- 10. Wang G, Pan ZX, Li HB, et al. Diagnosis and treatment of tracheobronchial foreign bodies in 1024 children[J]. J Pediatr Surg, 2012, 47(7): 2004-2010.

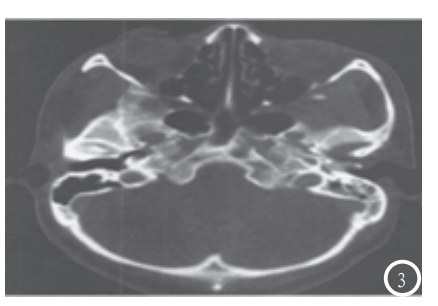
(本文编辑: 汪兵)

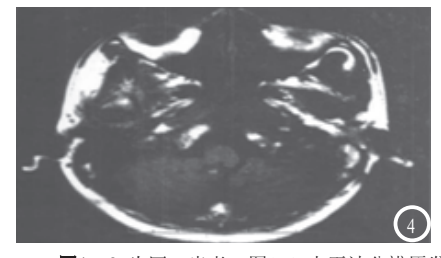
【收稿日期】2015-04-20

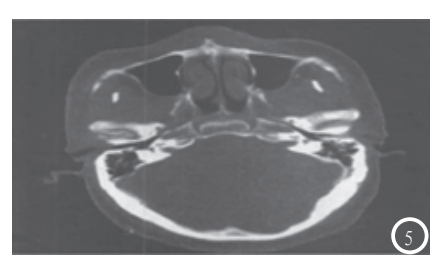
(上接第 11 页)











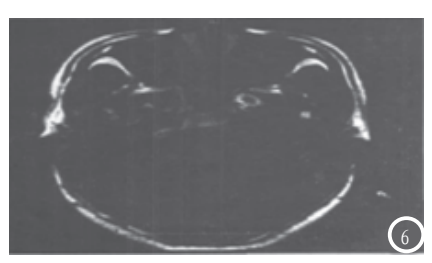


图1、2 为同一患者。图1 CT上无法分辨原发肿瘤、咽后淋巴结和头长肌。图2 MRI T2WI可清晰地显示原发肿瘤、咽后淋巴结和头长肌。**图3、4** 为同一患者。图3 CT提示颅底骨质未见明显破坏。图4 MRI T1WI提示斜坡骨质破坏。**图5、6** 为同一患者。图5 CT提示颅底骨质未见明显破坏。图6 MRI T1WI提示左岩尖骨质破坏。

- 6. 罗静华, 杨忠, 徐坚民. 等. 鼻咽癌磁 共振成像T分期与血管内皮生长因 子蛋白表达的关系[J]. 新乡医学院 学报, 2014, (06): 438-439+442.
- 7. 鲍道亮, 陈韵彬, 姚逸琦. 等. 临床医用1.5T MR成像仪对鼻咽癌裸鼠移植瘤模型磁共振成像图像质量的探讨[J]. 中国CT和MRI杂志, 2013, (02):1-3.
- 康巍,苏丹柯,刘丽东.磁共振成像新技术在鼻咽癌中的研究进展[J].中国CT和MRI杂志,2013, (01):117-120.
- Qi Feng, Yun Qi Yan, Jiong Zhu. etal. T staging of rectal cancer: Accuracy of diffusionweighted imaging compared

- with T2-weighted imaging on 3.0 tesla MRI[J]. Journal of Digestive Diseases, 2014, Vol. 15 (4).
- 10. Nicola Flor, Miriam Mezzanzanica, Paolo Rigamonti.etal. Contrast-Enhanced Computed Tomography Colonography in Preoperative Distinction between T1-T2 and T3-T4 Staging of Colon Cancer[J]. Academic Radiology, 2013, Vol. 20 (5): 590-595.
- 11. Elena Munoz, Pablo Granero-Castro, Matteo Frasson. etal. Modified Wong's Classification Improves the Accuracy of Rectal

- Cancer Staging by Endorectal Ultrasound and MRI[J]. Diseases of the Colon & Rectum, 2013, Vol. 56 (12):1332-1338.
- 12. Munoz Elena, Granero-Castro Pablo, Frasson Matteo. etal. Modified Wong's classification improves the accuracy of rectal cancer staging by endorectal ultrasound and MRI[J]. Diseases of the colon and rectum, 2013, Vol. 56 (12):1332-8.

(本文编辑: 黎永滨)

【收稿日期】2015-04-25